

06;07;12

Динамика импульса в световоде с линейной межмодовой связью и дисперсией керровской нелинейности

© И.О. Золотовский, Д.И. Семенцов

Ульяновский государственный университет,
432970 Ульяновск, Россия

(Поступило в Редакцию 14 июня 2001 г.)

Исследуется влияние дисперсии керровской нелинейности на длительность и скорость максимума огибающей волнового пакета, распространяющегося в волоконном световоде и формируемого двумя связанными однонаправленными волнами. Значительно большая величина дисперсии нелинейности для таких систем по сравнению с „одноволновыми“ системами позволяет существенно снизить энергетический порог коллапса волнового пакета, а также делает возможным реализовать „сверхсветовой“ режим распространения максимума огибающей импульса в усиливающей среде.

Введение

Среди проблем нелинейной волоконной оптики, интенсивно обсуждаемых в последнее время, особое место занимают вопросы, связанные с исследованием распределенно-связанных волн, что обусловлено широкими перспективами практического их использования. Обычно подобного рода образования возникают в туннельно-связанных, анизотропных либо периодических волоконных световодах (ВС) [1,2]. Данное обстоятельство делает актуальным анализ динамики распространения коротких импульсов по таким световодам с учетом различных нелинейных эффектов [3–6]. Их проявление в световодах, обеспечивающих сильную линейную связь, может быть более разнообразным и заметным, чем в одномодовых, за счет существенного вклада межмодового взаимодействия и фазовой кроссмодуляции в эффективные дисперсию и нелинейность. В [7] показано, что в одномодовом световоде с дисперсией нелинейности при достижении вводимой в световод плотности энергии критической величины W_c возможен коллапс импульса, когда его длительность стремится к нулю. Сильная зависимость эффективных параметров рассматриваемых двухмодовых световодов от типа их возбуждения создает предпосылки для существенного снижения энергетического порога оптического импульса. В настоящей работе на основе метода парциальных импульсов и вариационного подхода, успешно применявшихся для анализа особенностей распространения коротких импульсов в нелинейных волоконных световодах [5–9], исследуется динамика волнового пакета, состоящего из двух однонаправленных, сильно взаимодействующих волн, распространяющихся в среде с керровской нелинейностью. Особое внимание уделяется влиянию дисперсии нелинейности на длительность волнового пакета и значение максимума скорости, его огибающей. Указано на возможность достижения сверхсветовых скоростей для импульсов, распространяющихся в подобного рода системах.

Общие соотношения

Система уравнений для временных огибающих двух связанных волн, формирующих волновой пакет, в координатах бегущего времени $\tau = t - z/u$, где u — групповая скорость волнового пакета, с учетом межмодовой расстройки групповых скоростей, нелинейных эффектов фазовой само- и кроссмодуляции и дисперсии нелинейности имеет следующий вид:

$$\begin{aligned} \frac{\partial A_j}{\partial z} + \frac{(-1)^j}{v} \frac{\partial A_j}{\partial \tau} - i \frac{d_j}{2} \frac{\partial^2 A_j}{\partial \tau^2} \\ = -i\sigma A_{3-j} - iR (\gamma_c |A_j|^2 + \gamma_k |A_{3-j}|^2) A_j \\ - \frac{2R}{\omega_0} \frac{\partial}{\partial \tau} [(\gamma_c |A_j|^2 + \gamma_k |A_{3-j}|^2) A_j]; \quad j = 1, 2. \end{aligned} \quad (1)$$

Здесь $v^{-1} = (u_1 - u_2)/2u^2$, где $u_j = (\partial\beta_j/\partial\omega)_{\omega_0}^{-1}$ — групповая скорость j -й моды, $d_j = (\partial^2\beta_j/\partial\omega^2)_{\omega_0}$ — дисперсия групповых скоростей для j -й моды, $2u = u_1 + u_2$, R — параметр нелинейности световода, ω_0 — несущая частота волнового пакета, σ — коэффициент межмодовой связи, γ_c и γ_k параметры фазовой само- и кроссмодуляции [3]. Уравнения (1) должны решаться совместно с начальными условиями для временных огибающих мод A_j , общий вид которых представляется соотношением $A_2(\tau, 0) = \psi A_1(\tau, 0)$, где параметр ψ определяет тип возбуждения волокна. При $\psi = \pm 1$ имеет место симметричное и антисимметричное его возбуждение. Решение системы (1) в приближении сильного межмодового взаимодействия может быть представлено в виде суммы двух парциальных импульсов (ПИ).

$$A_j = (-1)^{j+1} a_1(\tau, z) \exp(i|\sigma|z) + a_2(\tau, z) \exp(-i|\sigma|z), \quad (2)$$

где a_f — медленно меняющиеся с координатой z амплитуды, для которых верны следующие начальные условия:

$$a_f(\tau; 0) = 0.5[A_1(\tau; 0) + (-1)^f A_2(\tau; 0)]; \quad f = 1, 2. \quad (3)$$

Подставляя (2) в (1), получаем систему уравнений для амплитуд ПИ

$$\begin{aligned} \frac{\partial a_f}{\partial z} - i \frac{D_f}{2} \frac{\partial^2 a_f}{\partial \tau^2} + iR(\gamma_k + \gamma_c) (|a_f|^2 + s|a_{3-f}|^2) a_f \\ + \chi_1 \frac{\partial}{\partial \tau} (|a_f|^2 + s|a_{3-f}|^2) a_f \\ + (-1)^f \chi_2 a_f \frac{\partial}{\partial \tau} (|a_f|^2 + |a_{3-f}|^2) = 0, \end{aligned} \quad (4)$$

где $D_f = (d_1 + d_2)/2 + (-1)^f/v^2|\sigma|$ — эффективная дисперсия парциального импульса, $s = 2\gamma_c/(\gamma_k + \gamma_c)$, $\chi_1 = 2R(\gamma_k + \gamma_c)/\omega_0$, $\chi_2 = R(\gamma_k + \gamma_c)/2v|\sigma|$.

Если начальные условия возбуждения световода соответствуют симметричному или антисимметричному типу, амплитуда одного из ПИ равна нулю, а именно $a_1 = 0$ при симметричном возбуждении и $a_2 = 0$ — при антисимметричном [9]. При этом общая система двух уравнений для ПИ может быть сведена к одному уравнению следующего вида:

$$\begin{aligned} \frac{\partial a_f}{\partial z} - i \frac{D_f}{2} \frac{\partial^2 a_f}{\partial \tau^2} + iR(\gamma_k + \gamma_c)|a_f|^2 a_f \\ + \chi_f \frac{\partial}{\partial \tau} (|a_f|^2 a_f) + \rho_f |a_f|^2 \frac{\partial a_f}{\partial \tau} = 0, \end{aligned} \quad (5)$$

где $\delta_f = \chi_1 + (-1)^f \chi_2$, $\rho_f = (-1)^{f+1} \chi_2$.

Решение этого уравнения проведем, используя вариационный метод. Его основой является построение пробного решения с зависимыми от координаты z параметрами, для нахождения которых, следуя вариационной процедуре, строится система соответствующих уравнений. В качестве пробного решения уравнения (5) выберем функцию, широко используемую в литературе для описания солитоноподобных импульсов,

$$\tilde{a}_f = G_f \operatorname{sech}(\theta_f/\tau_f) \exp[i(\varphi_f + g_f \theta_f + \alpha_f \theta_f^2)], \quad (6)$$

где введены зависящие от координаты z следующие параметры: G_f — амплитуда; φ_f — фаза; g_f — поправка к фазовой скорости импульса; α_f — скорость частотной модуляции (чирп); τ_f — длительность импульса; $\theta_f = \tau - T_{cf}$, где параметр T_{cf} определяет изменение групповой скорости импульса. Для приведенных параметров, фактически и определяющих динамику импульса, следуя формализму, детально излагавшемуся в [6,7], можно получить следующую систему уравнений:

$$\frac{d(G_f^2 \tau_f)}{dz} = 0, \quad \frac{d\tau_f}{dz} = 2D_f \alpha_f \tau_f, \quad (7.1), (7.2)$$

$$\frac{dg_f}{dz} = \frac{4}{3} \delta_f \alpha_f G_f^2, \quad (7.3)$$

$$\frac{dT_c}{dz} = D_f g_f + (\delta_f + \rho_f/3) G_f^2, \quad (7.4)$$

$$\begin{aligned} \frac{\pi^2}{2} \frac{d\alpha}{dz} = D_f \left(\frac{1}{\tau_f^4} - \pi^2 \alpha_f^2 \right) \\ + ((\delta_f + \rho_f) g_f R(\gamma_k + \gamma_c)) \frac{G_f^2}{\tau_f^2}. \end{aligned} \quad (7.5)$$

В соответствии с (3) и (7.1) получаем $2G_f^2 \tau_f = W_0$, где W_0 — энергия импульса на входе в волокно. Для рассматриваемых нами случаев симметричного или антисимметричного возбуждения световода $W_0 = 2|A_{j0}|^2 \tau_0$, где τ_0 — длительность импульса при $z = 0$. Решая первые три уравнения системы (7), получаем

$$g_f = g_0 - \delta_f W_0 / 3D_f \tau_f. \quad (8)$$

Исключая из (7.3) и (7.5) переменные α_f и g_f и учитывая (8), получаем уравнение для длительности импульса τ_f

$$\frac{d^2 \tau_f}{dz^2} - p \tau_f^{-2} - q \tau_f^{-3} = 0, \quad (9)$$

где введены следующие обозначения:

$$p = \frac{2D_f W_0}{\pi^2} (g_0(\delta_f + \rho_f) + R(\gamma_k + \gamma_c)),$$

$$q = \frac{4}{\pi^2} \left(D_f^2 - \frac{1}{6} (\delta_f + \rho_f) \delta_f W_0^2 \right).$$

Из записи первого интеграла этого уравнения

$$\left(\frac{d\tau_f}{dz} \right)^2 = f_0 + 2p\tau_f^{-1} - q\tau_f^2, \quad (10)$$

$f_0 = 4D_f^2 \tau_0^2 \alpha^2(0) + 2p/\tau_0 + q/\tau_0^2$, $\alpha_0 = \alpha(0)$ видно, что решаемая задача сводится к хорошо известному уравнению в задаче Кеплера [10]. Согласно общей теории, характер его решений существенным образом зависит от знака входящих в него констант. Так, параметр f_0 определяет знак „полной энергии“ частицы в поле „силового центра“, характер которого определяется знаком параметра p . В задаче Кеплера параметр q определяет вклад в кинетическую энергию частицы азимутального движения и поэтому всегда положителен. Выбор соответствующих знаков указанных констант определяет возможность финитного или инфинитного движения, что для импульса в световоде означает конечную длительность (квазисолитонный режим) или уширение его до бесконечности при $z \rightarrow \infty$.

Решения и их анализ

Проанализируем более детально решения уравнения (10), определяющие зависимость длительности импульса τ_f от пройденного им расстояния при $q > 0$ и $p < 0$, когда возможно сжатие импульса.

1) $f_0 < 0$. В этом случае (10) описывает финитное движение или импульс с периодически меняющейся длительностью, который может считаться квазисолитонном (в строгом смысле подобное волновое образование не является солитоном, поскольку исходная система уравнений (1) не является интегрируемой). Решая (10), для длительности импульса получаем

$$\tau_p = k(1 - e \cos \xi), \quad (11)$$

где параметр ξ связан с пройденным расстоянием соотношением

$$z = b(\xi - e \sin \xi) + C. \quad (12)$$

Здесь введены обозначения: $k = |p/f_0|$, $b = |p||f_0|^{-3/2}$, $e = (1 - 16\pi^2|f_0|/R^2(\gamma_c + \gamma_k)^2W_0^2)^{1/2}$. Константа интегрирования в (12) определяется из начальных условий и равна $C = b(e \sin \xi_0 - \xi_0)$, а переменная ξ меняется от ξ_0 до ∞ , где

$$\xi_0 \equiv \xi(0) = \arccos((k - \tau_0)/de). \quad (13)$$

В рассматриваемом случае параметр $e < 1$ и длительность импульса по мере его распространения изменяются в пределах $\tau_{\min} \leq \tau_f \leq \tau_{\max}$. Минимальная длительность импульса $\tau_{\min} = k(1 - e)$ отвечает значениям $\xi = 2m\pi$ и пройденным по волокну расстояниям $z_{\min} = 2m\pi b + C$, максимальная длительность $\tau_{\max} = k(1 + e)$ имеет место при $\xi = (2m + 1)\pi$ в точках $z_{\max} = (2m + 1)\pi b + C$. Если $D_f\alpha(0) < 0$, то $d\tau_f/dz > 0$ и импульс первоначально сжимается до минимальной длительности, после чего наступает фаза уширения. Если же $D_f\alpha(0) > 0$, то $d\tau_f/dz < 0$ и импульс первоначально уширяется до значения τ_{\max} , после чего наступает фаза сжатия импульса. Длина волокна, на которой длительность импульса меняется от максимального до минимального значения, может считаться длиной компрессии для рассматриваемого случая, равной $L_k = \pi b$.

2) $f_0 > 0$. В этом случае $e > 1$ и уравнение (10) описывает инфинитное движение, т.е. импульс, длительность которого $\tau \rightarrow \infty$ при $z \rightarrow \infty$. В зависимости от знака величины $D_f\alpha_0$ возможны оба сценария. Если указанная величина положительна, то импульс непрерывно уширяется, начиная с момента его ввода в волокно. Если же $D_f\alpha_0 < 0$, импульс первоначально сжимается, после чего наступает фаза его уширения. В обоих случаях длительность импульса связана с пройденным расстоянием соотношениями

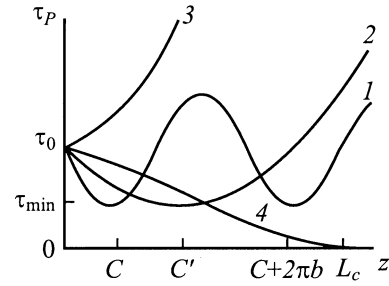
$$\tau_p = |k|(e \operatorname{ch} \xi - 1), \quad z = b(e \operatorname{sh} \xi - \xi) + C', \quad (14)$$

$C' = b(\xi_0 - e \operatorname{sh} \xi_0)$, $\xi_0 = \ln(\varphi \pm \sqrt{\varphi^2 - 1})$, $\varphi = (|k| + \tau_0)/|k|e$, где знаки \pm относятся к соответствующим знакам величины $D_f\alpha_0$.

Минимальная длительность импульса и длина компрессии (при $D_f\alpha_0 < 0$) определяются выражениями

$$\tau_{\min} = |k|(e - 1), \quad I_k = \left[e\sqrt{\varphi^2 - 1} - \ln(\varphi - \sqrt{\varphi^2 - 1}) \right]. \quad (15)$$

3) $q \leq 0$. Анализ показывает, что динамика импульса также зависит от знака параметра q , который зависит от энергии вводимого в световод излучения W_0 и может стать отрицательным. В этом случае при $f_0 < 0$ и $p < 0$ уравнение, аналогичное (10) в задаче Кеплера, описывает падение частицы на тяготеющий центр. Для импульса в световоде это означает, что его длительность в указанной ситуации стремится к нулю, т.е. происходит



Характерные зависимости длительности импульса от пройденного по световоду расстояния.

коллапс импульса. В соответствии с (9) и (10) возможность коллапса реализуется только при симметричном ($f = 2$, $a_2 \neq 0$) возбуждении световода, тогда как при антисимметричном возбуждении параметр $q > 0$. Значение вводимой в ВС энергии, выше которого происходит коллапс волнового пакета ($W_0 \geq W_c$), определяется соотношением

$$W_c = |D_f| \sqrt{6/\chi_1(\chi_1 + \chi_2)}.$$

Длина световода, на которой происходит коллапс, определяется соотношением $L_c = F(0) - F(\tau_0)$, где

$$F(\tau) = \frac{1}{f_0} \left[\sqrt{f_0\tau^2 + 2p\tau - q} + \frac{1}{\sqrt{-f_0}} \arcsin \frac{f_0\tau + p}{2(p^2 + f_0q)} \right] \quad (16)$$

и параметры p , q и f_0 — отрицательные.

На рисунке приведены характерные зависимости длительности импульса от пройденного по световоду расстояния, соответствующие рассмотренным трем различным режимам трансформации импульса. Кривая 1 соответствует „колебательному“ режиму распространения импульса в световоде, имеющему место при $f_0 < 0$, кривая 2 — расширяющемуся режиму при $f_0 > 0$ и $D_f\alpha_0 > 0$, кривая 3 — начальному режиму компрессии при $f_0 > 0$ и $D_f\alpha_0 < 0$ и кривая 4 соответствует режиму оптического коллапса $f_0 < 0$, $p < 0$.

Следует особо отметить, что в широком диапазоне значений параметров импульса и среды имеет место соотношение $w_0/v|\sigma| \gg 1$, из которого следует, что $\chi_2/\chi_1 \gg 1$. Так, для вводимого в волокно импульса длительностью $\tau_0 \cong 1$ ps, интенсивностью $a_{f_0}^2 \cong 10^{10}$ W/cm², несущей частоты $w_0 = 10^{15}$ s⁻¹ и параметров $v^{-1} = 6 \cdot 10^{-13}$ s/m, $\sigma = 4.5$ m⁻¹, $R(\gamma_c + \gamma_k) = 1.5 \cdot 10^{-14}$ W⁻¹ · m⁻¹ имеем $\chi_1 = 3 \cdot 10^{-29}$ s · m/W и $\chi_2 = 10^{-27}$ s · m/W, т.е. $\chi_2/\chi_1 \cong 30$. Это делает возможным реализацию оптического коллапса для системы связанных волн при энергиях вводимого излучения, много меньших, чем для одноволнового случая. При этом сильная зависимость эффективной дисперсии D_f от параметров волокна и вводимого излучения позволяет в еще большей степени

снизить „энергетический порог“ достижения оптического коллапса за счет уменьшения значения D_f , доводя его до значения $W_c \cong 1 \text{ J/m}^2$, тогда как для „классического“ одноволнового случая энергия коллапса, скорее всего, не может быть меньше значения $W_c \cong 10\text{--}50 \text{ J/m}^2$.

Скорость максимума огибающей

Важной особенностью рассматриваемых систем, качественно изменяющей их свойства по сравнению с одноволновыми системами, является способность параметров δ_f и ρ_f принимать отрицательные значения в зависимости от условий возбуждения. В качестве наиболее интересного следствия отрицательности указанных параметров следует выделить возможность достижения „сверхсветовых“ скоростей в подобного рода системах. Обратимся к выражению для пробного решения (6), согласно которому скорость максимума огибающей волнового пакета u_m связана с групповой скоростью u соотношением

$$u_m = \frac{u}{1 + uT_c/z}, \quad (17)$$

где зависимость параметра T_c от координаты z задается уравнением (7.4).

Из (17) следует, что при выполнении условия $T_c < 0$ имеет место $u_m > u$. Исследуем условия образования „сверхсветовой“ волны на примере квазимонохроматической волны, т.е. импульса большой длительности, для которого $\tau_0 \geq 10^{-9} \text{ с}$. В силу большой дисперсионной длины ($L_D = \tau_0^2/|d| \geq 10^7 \text{ м}$) для рассматриваемых длин световода длительность и интенсивность импульса можно считать величиной практически постоянной, т.е. $G_f^2 \cong a_{f0}^2$. При этом $\tau_f(z) \cong \tau_0$, $g(z) \cong 0$ и уравнение (7.4) может быть приведено к виду

$$\frac{dT_c}{dz} = \left(\chi_1 + \frac{2}{3}(-1)^f \chi_2 \right) a_{f0}^2. \quad (18)$$

Интегрируя это уравнение и полагая $T_c(0) = 0$, получаем выражение для $T_c(z)$, с учетом которого выражение для скорости максимума огибающей импульса приобретает вид

$$u_m = \frac{u}{1 + (\chi_1 + (-1)^f 2\chi_2/3) u a_{f0}^2 z}. \quad (19)$$

Из (19) следует принципиальная возможность достижения сверхсветовой скорости максимумом огибающей волнового пакета в случае антисимметричного возбуждения световода (при $f = 1$), когда $3\chi_1 - 2\chi_2 < 0$. Эффекты подобного рода подробно описаны в [11] и объясняются перераспределением энергии внутри волнового пакета за счет большей скорости максимума огибающей импульса относительно скорости его „центра масс“. Указанное поведение импульса связывалось, однако исключительно с усиливающими свойствами среды, которые для волоконных световодов могут приводить

к существенным изменениям параметров импульса (длительность, пиковая интенсивность, фаза и т.д.) [12,13]. Следует заметить, что приведенное выше решение также справедливо для рассмотренного ранее случая возникновения солитоноподобного импульса при $f_0 < 0$, когда на некоторой длине световода $z \gg L_D$ выполняются условия $\tau_f \cong \text{const}$ и $G_f^2 \cong \text{const}$.

Следует подчеркнуть, что значительно большие значения параметров, характеризующих дисперсию нелинейности в случае систем с сильной межволновой связью (когда $|\delta_f/\chi_1| \cong 10\text{--}100$) по сравнению с „классическим“ одноволновым случаем, указывают на принципиальную необходимость учета этих параметров при рассмотрении систем с сильной межмодовой связью. Так, представляется исключительно важным учет дисперсии нелинейности при моделировании получивших в последнее время широкое применение туннельно-связанных оптических волноводов.

Список литературы

- [1] Майер А.А. // УФН. 1995. Т. 165. № 9. С. 1037–1075.
- [2] Васильев С.А., Дианов Е.М., Курков А.С. и др. // Квантовая электрон. 1997. Т. 24. № 10. С. 151–154.
- [3] Ахманов С.А., Выслоух В.А., Чиркин А.С. Оптика фемтосекундных лазерных импульсов. М.: Наука, 1988. С. 312.
- [4] Абдуллаев Ф.Х., Абрамов Р.М., Гончаров В.И., Дарманиян С.А. // ЖТФ. 1994. Т. 64. Вып. 9. С. 101–109.
- [5] Выслоух В.А., Геворкян Л.П. // Изв. АН СССР. Сер. физич. 1991. Т. 35. № 2. С. 323–328.
- [6] Malomed B.A., Skinner P.L., Chu P.L., Peng G.D. // Phys. Rev. E. 1966. Vol. 53. N 4. P. 4084–4091.
- [7] Маймистов А.И. // Квантовая электрон. 1994. Т. 21. № 4. С. 358–364. Там же. 1995. Т. 22. № 9. С. 936–940.
- [8] Золотовский И.О., Семенцов Д.И. // Квантовая электрон. 1999. Т. 27. № 3. С. 273–277.
- [9] Золотовский И.О., Семенцов Д.И. // Опт. и спектр. 2000. Т. 88. № 4. С. 620–623. Там же. 2000. Т. 89. № 5. С. 806–809.
- [10] Ландау Л.Д., Лившиц Е.М.: Наука, 1988. С. 51.
- [11] Ораевский А.Н. // УФН. 1998. Т. 168. № 12. С. 1311–1321.
- [12] Ораевский А.Н., Бенди Д.К. // Квантовая электрон. 1994. Т. 21. № 4. С. 355–357.
- [13] Золотовский И.О., Семенцов Д.И. // ЖТФ. 2000. Т. 70. Вып. 10. С. 57–60.